

عیب‌یابی سازه‌های مکانیکی با استفاده از الگوریتم پرندگان (PSO)

منصور پیمانی^۱، محمد تقی وکیل باغمیشه^۱، سید مرتضی همایون صادقی^۲، میر محمد اتفاق^۳^۱آزمایشگاه سیستمهای هوشمند، دانشکده مهندسی برق و کامپیوتر، دانشگاه تبریز^۲آزمایشگاه ارتعاشات و آنالیز مودال، دانشکده مهندسی مکانیک، دانشگاه تبریز

E-mail: mpeimani@gmail.com, mvakil@tabrizu.ac.ir, morteza@tabrizu.ac.ir, ettefagh@tabrizu.ac.ir

چکیده - عیب‌یابی و بررسی سلامت سازه‌ها از جهت جلوگیری از صدماتی که در آینده ممکن است رخ دهد، دارای اهمیت می‌باشد. در این مقاله تخمین محل و عمق ترک در سازه تیر یک سرگیردار به صورت مسئله بهینه‌سازی فرمول‌بندی شده است و محل و عمق بهینه با مینیمم کردن تابع هزینه‌ای که بر اساس تفاوت چهار فرکانس طبیعی اندازه گیری شده و محاسبه شده از مدل تعریف می‌شود، به دست می‌آید. جهت حل مسئله بهینه‌سازی از الگوریتم پرندگان (PSO) استفاده شده است و نحوه تنظیم و اعمال آن در مسئله عیب‌یابی بررسی شده است. الگوریتم PSO نسبت به سایر الگوریتم‌های هوشمند دقیق‌تر، سرعت‌تر و ساده‌تر می‌باشد. جهت بهبود کارایی این الگوریتم اصلاحاتی پیشنهاد شده است. فرکانسهای طبیعی تیر ترک‌دار در بخش مدل‌سازی از معادلات تحلیلی تیر با جاگذاری فنر در محل ترک و کاهش سفتی آن متناسب با شدت عیب و در بخش آزمایشات عملی از روی پاسخ فرکانسی سازه عیب‌دار و آنالیز مودال به دست می‌آید.

کلید واژه- الگوریتم پرندگان (PSO)، تیر، عیب‌یابی، فرکانس طبیعی.

عیبهایی مانند ترک در سازه‌ها باعث کاهش سفتی در ناحیه عیب و تغییر فرکانسهای طبیعی سازه‌ها می‌گردد. در مرجع [۸] روش‌های عیب‌یابی با فرکانسهای طبیعی مرور شده است. برای حل مسئله معکوس یا عیب‌یابی سازه می‌توان از الگوریتم‌های هوشمند استفاده کرد. به طوری که مؤلفین در مقالات قبلی از روش الگوریتم‌های ژنتیکی (GA) و شبکه‌های عصبی مصنوعی جهت حل این مسئله استفاده کرده‌اند [۹، ۱۰]. در این مقاله الگوریتم پرندگان (PSO) معرفی می‌شود [۱۱] و مسئله عیب‌یابی سازه به صورت تخمین محل و شدت ترک در سازه تیر به کمک PSO حل می‌شود. از این رو ابتدا مسئله تخمین محل و عمق ترک در تیر یک سرگیردار به صورت مسئله بهینه‌سازی فرمول‌بندی

۱- مقدمه

طی دهه اخیر استفاده از روش‌های عیب‌یابی مبتنی بر پارامترهای ارتعاشی موضوع تحقیقات بوده است. عده‌ای از محققین روش‌هایی برای تخمین تأثیرات عیب روی پارامترهای ویژه سازه ارائه کرده‌اند (مسئله مستقیم)، در حالیکه برخی دیگر روی مسئله شناسایی، مکان‌یابی و تشخیص میزان عیب کار کرده‌اند (مسئله معکوس) [۱-۳]. روش‌های مختلف غیر مخرب برای عیب‌یابی سازه‌های مکانیکی وجود دارد [۴] که آنالیز مودال یکی از این روشها است [۵]. در مراجع [۷، ۶] تحقیقات انجام شده در زمینه عیب‌یابی با استفاده از دیتای ارتعاشات مرور شده است. بروز

۲. برای هر ذره تابع شایستگی محاسبه می‌شود.
۳. مقدار شایستگی ذره با P_{best} آن مقایسه می‌شود، و اگر مقدار فعلی از P_{best} بهتر بود، P_{best} برابر مقدار فعلی و X_{PB} برابر مکان فعلی X_i در فضای D بعدی می‌گردد.
۴. برای هر ذره تعیین می‌شود.
۵. سرعت و مکان هر ذره با توجه به فرمولهای (۱) و (۲) به هنگام می‌گردند.
۶. چرخه الگوریتم از مرحله ۲ تکرار می‌شود تا زمانی که شرط توقف برآورده شود.

$$V_{i_{new}} = V_{i_{old}} + c_1 \text{rand}(X_{NB} - X_i) + c_2 \text{rand}(X_{PB} - X_i) \quad (1)$$

$$X_{i_{new}} = X_{i_{old}} + V_{i_{new}} \quad (2)$$

که در آن c_1, c_2 دو فاکتور یادگیری در بازه [۰,۵, ۲] هستند، و $\text{rand}()$, $\text{Rand}()$ دو عدد تصادفی مستقل در بازه [۰, ۱] هستند. X_i موقعیت ذره i ام را نشان می‌دهد.

اصلاح سرعت بر سه اساس سرعت قبلی، X_{PB} (بهترین موقعیت قبلی ذره که پرنده خودش به دست آورده است) و X_{NB} (بهترین نتیجه‌ای که پرندهان واقع در همسایگی به دست آورده‌اند)، صورت می‌گیرد.

۳- عیب‌یابی با الگوریتم PSO

در این بخش مشخصات تیر، چگونگی تنظیم الگوریتم پرندهان، نحوه اصلاح الگوریتم و نیز نحوه اعمال آن برای تخمین محل و عمق ترک در سازه تیر را بررسی می‌کنیم.

مشخصات تیر استفاده شده در مدلسازی و آزمایشات عملی به صورت ذیل است. طول، عرض و ارتفاع تیر به ترتیب برابر $820mm$, $8mm$ و $10mm$ می‌باشد. جنس تیر از نوع آلومینیوم و چگالی آن برابر $2700kg/m^3$ می‌باشد. ضربی پواسن برابر 0.3 و ضربی الاستیسیته معادل برابر $62GPa$ می‌باشد.

محل ترک در بازه $0mm < loc < 820mm$ و عمق ترک در بازه $0mm < dep < 8mm$ در نظر گرفته می‌شوند. از آنجا که دقت مورد انتظار حداقل برابر $1mm$ است، و بازه تغییر متغیر اول بیشتر از متغیر دوم است، نرمالیزه کردن هر دو

می‌شود و محل و عمق بھینه با مینیمم کردن تابع هزینه‌ای که بر اساس تفاوت چهار فرکانس طبیعی اندازه‌گیری شده و محاسبه شده تعریف می‌شود، به دست می‌آید. جهت به دست آوردن فرکانس‌های طبیعی تیر ترکدار در بخش مدلسازی از مدل فنر با کاهش سفتی [۱۳, ۱۲] و در بخش عملی از طریق تحریک تیر و اندازه‌گیری شتاب و FFT و آنالیز مodal استفاده می‌شود.

در بخش دوم الگوریتم پرندهان (PSO) معرفی می‌شود. در بخش سوم نحوه اعمال الگوریتم PSO جهت عیب‌یابی و در بخش چهارم چگونگی انجام آزمایشات عملی شرح داده می‌شوند. بخش پنجم شامل نتایج تخمین محل و شدت عیب می‌باشد. فصل ششم به نتیجه‌گیری اختصاص دارد.

۲- الگوریتم پرندهان (PSO)

الگوریتم پرندهان در سال ۱۹۹۵ به وسیله Eberhart و Kennedy [۱۱] ابداع شد، و ایده اولیه آن از حرکت پرندهان و یا ماهیهای اقتباس شده است. در این روش هر جواب مسئله به عنوان یک پرنده در نظر گرفته شده و "particle" نامیده می‌شود. هر پرنده یک fitness دارد که بر اساس موقعیت آن در فضای جستجو محاسبه می‌شود. همچنین هر پرنده دارای یک بردار سرعت است که جهت حرکت پرنده را مشخص می‌کند. مقادیر سه متغیر دیگر نیز از در حین اجرای الگوریتم به دست می‌آیند. بهترین P_{best} نتیجه‌ای است که یک پرنده به دست آورده‌اند. بهترین N_{best} نتیجه‌ای است که پرنده خود را بر دو اساس تجربه شخصی (Cognition part) و تجربه دوستانش (Social part) اصلاح پرندگان به دست آورده‌اند. G_{best} بهترین نتیجه‌ای است که پرندهان واقع در همسایگی یک پرنده به دست آورده‌اند. بهترین نتیجه‌ای است که به وسیله تمام پرندهان در طول اجرای الگوریتم به دست آمده است. که اگر همسایگی کل فضای جستجو را در بر گیرد، N_{best} برابر G_{best} خواهد بود.

هر پرنده جهت خود را بر دو اساس تجربه شخصی (Cognition part) و تجربه دوستانش (Social part) اصلاح می‌کند.

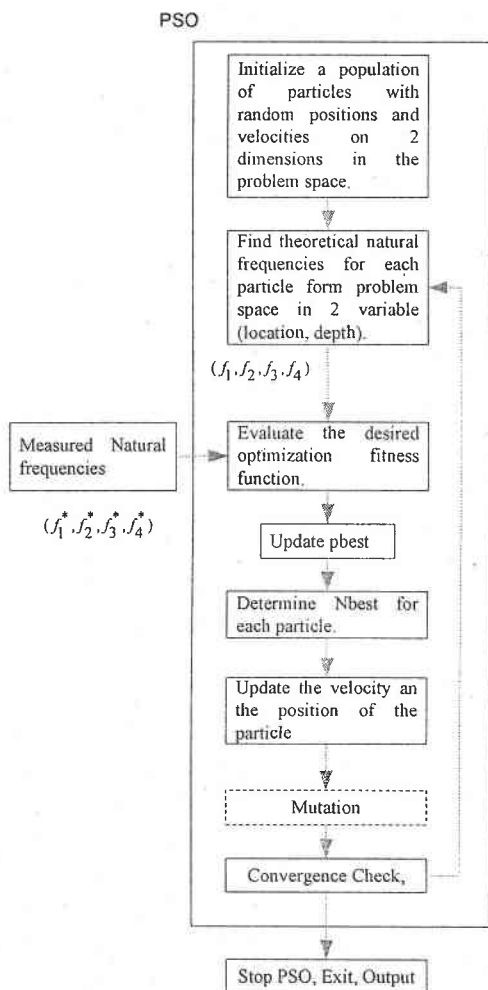
۲-۱-۱- الگوریتم یادگیری PSO

الگوریتم پایه برای تحقق PSO به صورت ذیل است.

۱. جمعیت پرندهان با موقعیتها و سرعتهای تصادفی در D بعد فضای مسئله مقداردهی اولیه می‌شوند.

PSO بعد از هر تکرار 20% از پرندگان که بدترین fitness را دارند حذف شده و به همان تعداد پرندگان با موقعیت و سرعت رندام به فضای جستجو اضافه می‌شوند. این تغییر

متغیر به یک بازه مبدأ [0,1] باعث تضعیف و کاهش دقیق الگوریتم PSO خواهد شد، بنابراین مقادیر متغیرها را نرمالیزه نمی‌کنیم.



شکل ۱: فلوچارت اعمال PSO جهت عیب‌یابی

باعث افزایش سرعت همگرایی، افزایش دقیق تخمین و همچنین کاهش احتمال گیر کردن الگوریتم در مینیمم محلی می‌شود. در مواردی که الگوریتم در مینیمم محلی گیر کند، می‌توان الگوریتم را با شروع از نقاط اولیه مختلف اجرا کرد.

۴- آزمایشات عملی جهت استخراج فرکансهای طبیعی

جهت اعمال روش عیب‌یابی مطرح شده لازم است که

فلوچارت الگوریتم عیب‌یاب سازه تیر جهت تخمین محل و عمق ترک بر اساس الگوهای فرکانسی در شکل ۱ دیده می‌شود. همانگونه که در شکل ۱ دیده می‌شود ورودیهای سیستم عیب‌یاب چهار فرکانس طبیعی اندازه‌گیری شده می‌باشد که با f_i^* , $i = 1, \dots, 4$ نشان داده شده‌اند. فرکانسهای طبیعی محاسبه شده از مدل با f_i , $i = 1, \dots, 4$ نشان داده می‌شود.تابع هزینه مسئله بهینه سازی تخمین محل و عمق ترک به صورت رابطه (۳) تعریف می‌شود:

$$Cost(l, d) = \sum_{i=1}^4 abs(f_i - f_i^*) \quad (3)$$

که در آن l, d دو متغیر مسئله یعنی محل و عمق ترک می‌باشند.

با توجه به رابطه (۱) جستجو در فضای مسئله توسط دو فاکتور یادگیری c_1 و c_2 هدایت می‌شود، بنابراین تنظیم این دو ضریب در پیدا کردن سریع جواب بهینه مؤثر است. تغییر ضرایب c_1 و c_2 به صورت روابط (۴) و (۵) انجام می‌شود:

$$c_1 = -1.5 \frac{iter}{Maxit} + 2 \quad (4)$$

$$c_2 = 1.5 \frac{iter}{Maxit} + 0.5 \quad (5)$$

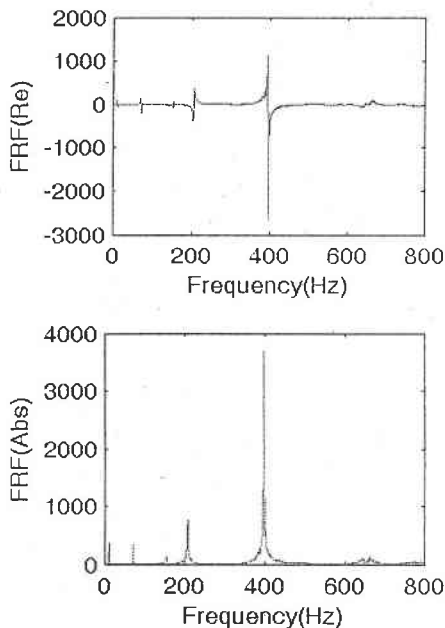
که در آن $iter$ شماره تکرار فعلی الگوریتم و $Maxit$ ماکریم تعداد الگوریتم است، که برابر 200 در نظر گرفته شده است. همچنین ضریب اینرسی طبق رابطه (۶) به رابطه (۱) اضافه می‌گردد.

$$w = 0.5 + \frac{Rand[0,1]}{2} \quad (6)$$

با توجه به اینکه افزایش تعداد ذرات باعث افزایش زمان محاسبه می‌گردد ولی تأثیر چندانی روی کاهش زمان همگرایی و یا افزایش دقیق پاسخ ندارد، تعداد ذرات برابر ۱۰ در نظر گرفته می‌شود.

الگوریتم PSO اصلاح شده: جهت افزایش کارایی الگوریتم

الگوریتمهای برآش منحنی استخراج می‌گردد.



شکل ۲: پاسخ فرکانسی تیر الومنیومی

نتایج اندازه‌گیری فرکانسی طبیعی تیر عیب‌دار در ۶ حالت تجربی در جدول ۱ آورده شده است.

جدول ۱: نتایج عملی اندازه‌گیری فرکانسی طبیعی

| loc(mm) | dep(mm) | f1(Hz) | f2(Hz) | f3(Hz) | f4(Hz) |
|---------|---------|--------|--------|---------|---------|
| 30 | 1 | 11,494 | 72,106 | 201,994 | 395,861 |
| 30 | 2 | 11,472 | 72,035 | 201,919 | 395,859 |
| 30 | 3 | 11,369 | 71,736 | 201,618 | 395,790 |
| 600 | 1 | 11,509 | 72,105 | 201,977 | 395,732 |
| 600 | 2 | 11,494 | 71,925 | 201,734 | 395,300 |
| 600 | 3 | 11,470 | 71,642 | 201,379 | 394,578 |

۵- نتایج تخمین محل و عمق عیب

آزمایشات جهت ارزیابی روش پیشنهادی عیب‌یابی را در دو بخش انجام می‌دهیم. در بخش اول فرکانسی‌های اندازه‌گیری شده را که از مدل سازه برای ۲۱ نقطه تست به دست آمده‌اند، به الگوریتم PSO اعمال می‌کنیم. مشخصات نقاط تست و نتایج تخمین مربوط به این بخش در جدول ۲ دیده می‌شوند. ماکریم، میانگین و مینیمم نتایج روشهای GA و PSO در جدول ۳ مشخص شده است. ملاحظه می‌شود که تخمین با دقت خوبی انجام شده است. با مقایسه این نتایج با نتایج حاصل از روش الگوریتمهای ژنتیکی [۹] ملاحظه می‌کنیم که نتایج PSO نسبت به نتایج الگوریتمهای ژنتیکی

فرکانسی‌های طبیعی سازه تیر را استخراج کنیم، به این منظور می‌توان از طریق اندازه‌گیری نیروی وارد بر سازه و اندازه‌گیری همزمان پاسخ (جابجایی، سرعت و یا شتاب) سازه بر اثر نیروی مذکور و اعمال عملیات ریاضی خاص (آنالیز مودال) روی داده‌های اندازه‌گیری شده پارامترهای ارتعاشی (فرکانسی طبیعی) را به دست آورد. محل تحریک سازه و نصب سنسور به ترتیب در فاصله ۶۰cm, ۹cm از سر گیر دار می‌باشد. برای استخراج تابع فرکانسی سازه که مشکل از توابع نیرو و پاسخ سازه مذکور در حوزه فرکانسی می‌باشد، پس از اندازه‌گیریهای مشخصات ارتعاشی سازه در حوزه زمانی، پاسخ فرکانسی سازه از طریق FFT به دست می‌آید. سیستمهای سخت‌افزاری استفاده شده به صورت زیر است.

۱. دستگاه آنالیز کننده FFT که توابع نیروی وارد بر سازه و پاسخ سازه (شتاب در یک نقطه سازه) نسبت به آن نیرو را به صورت سیگنالهای مناسب در حوزه زمانی دریافت می‌کند. همچنین ارتباط با نرم‌افزار پالس جهت پیاده کردن الگوریتم FFT برای توابع یاد شده و تبدیل آنها به توابعی در حوزه فرکانس و سپس تشکیل تابع پاسخ فرکانسی سازه از روی توابع مذکور توسط این دستگاه صورت می‌پذیرد.

۲. شتاب سنج که شتاب یک نقطه را اندازه گیری می‌کند و آن را به صورت سیگنال مناسب به دستگاه FFT منتقل می‌نماید.

۳. نیروسنج که نیروی وارد بر سازه را که از طریق چکش مخصوص وارد سازه می‌گردد، اندازه‌گیری می‌کند و آن را به دستگاه FFT ارسال می‌نماید.

۴. کابل‌های مخصوص جهت انتقال سیگنال.

پاسخ فرکانسی سازه در حالت سالم در شکل ۲ نشان داده شده است. بعد از استخراج پاسخ فرکانسی سازه، با به کارگیری نرم افزارهای برآش منحنی از نوع چند جمله‌ای فرکانسی‌های طبیعی را به دست می‌آوریم.

نرم افزارهای به کار گرفته شده شامل دو نرم افزار است: ۱- نرم افزار پالس که وظیفه مدیریت ساخت افزار آنالیز کننده FFT را بر عهده دارد. ۲- نرم افزار Mescope که توسط آن فرکانسی‌های طبیعی از تابع فرکانسی سازه به کمک

و نامعینی عملی اثر خود را بیشتر نشان می‌دهد. با افزایش عمق ترک حساسیت فرکانس‌های طبیعی به محل و شدت عیوب بیشتر شده و نتایج تخمین بهتر می‌شود.

جدول ۴: نتایج تخمین روش PSO مربوط به داده‌های تجربی

| Test point No. | Desired value (mm) | | Estimation results (mm) | |
|----------------|--------------------|------|-------------------------|------|
| | loc | dep | loc | dep |
| 1 | 60.0 | 1.00 | 84.6 | 0.82 |
| 2 | 60.0 | 2.00 | 70.9 | 1.80 |
| 3 | 60.0 | 3.00 | 68.4 | 2.80 |
| 4 | 300.0 | 1.00 | 349.6 | 0.81 |
| 5 | 300.0 | 2.00 | 341.6 | 2.20 |
| 6 | 300.0 | 3.00 | 330.5 | 3.20 |

جدول ۵: ماکریم، میانگین و مینیموم خطای تخمین برای داده‌های تجربی با اعمال روش GA و PSO

| | GA | | PSO | |
|------|--------|--------|--------|--------|
| | loc | dep | loc | dep |
| Max. | 41.67% | 28.00% | 41.00% | 19.00% |
| Ave. | 15.82% | 13.33% | 14.55% | 10.47% |
| Min. | 11.07% | 6.67% | 10.17% | 6.67% |

۶- نتیجه گیری

در این مقاله روش هوشمند PSO برای تخمین محل و عمق ترک در سازه تیر بر اساس فرکانس‌های طبیعی به کار گرفته شد. نتایج به دست آمده نشان می‌دهد که در روش ارائه شده امکان تخمین محل و عمق عیوب با اعمال چهار فرکانس طبیعی اول اندازه‌گیری شده امکان پذیر است. مقایسه نتایج به دست آمده با نتایج به دست آمده از روش الگوریتم‌های زنگیکی حاکی از برتری روش PSO از جنبه‌های مختلف سرعت، دقت و همچنین سادگی تحقق می‌باشد. میانگین خطای تخمین محل و شدت عیوب در مجموعه تست در روش PSO به ترتیب برابر ۰.۴۶٪ و ۰.۵۴٪ است، که از نتایج مربوط به روش GA که به ترتیب ۰.۹۵٪ و ۱.۹۴٪ می‌باشد، بهتر است.

عیوب‌یابی سازه‌های پیچیده با روش‌های هوشمند پیشرفته‌تر و با شخصهای دیگر حساس به عیوب برای تحقیقات آتی پیشنهاد می‌گردد.

سپاسگزاری

این کار تحقیقاتی طبق قرارداد شماره ۵۰۰/۴۳۶۹ از طرف مرکز تحقیقات مخابرات ایران حمایت مالی شده است. بدین وسیله مؤلفین از مسئولین محترم آن مرکز تشکر و

دقیقتر است. با توجه به ساده بودن الگوریتم PSO نسبت به الگوریتم‌های زنگیکی سرعت آن نیز بیشتر است.

جدول ۲: نتایج تخمین محل و عمق ترک پس از اعمال الگوریتم عیوب‌یابی PSO

| Test point No. | Desired value (mm) | | Estimation results (mm) | |
|----------------|--------------------|------|-------------------------|------|
| | loc | dep | loc | dep |
| 1 | 98.4 | 1.00 | 97.20 | 0.99 |
| 2 | 98.4 | 2.00 | 99.00 | 1.98 |
| 3 | 98.4 | 3.00 | 98.60 | 3.00 |
| 4 | 196.8 | 1.00 | 194.80 | 0.99 |
| 5 | 196.8 | 2.00 | 198.90 | 1.99 |
| 6 | 196.8 | 3.00 | 198.90 | 3.00 |
| 7 | 295.2 | 1.00 | 299.60 | 0.99 |
| 8 | 295.2 | 2.00 | 294.40 | 1.99 |
| 9 | 295.2 | 3.00 | 295.80 | 2.99 |
| 10 | 393.6 | 1.00 | 391.20 | 0.99 |
| 11 | 393.6 | 2.00 | 395.60 | 1.99 |
| 12 | 393.6 | 3.00 | 393.20 | 3.01 |
| 13 | 492.0 | 1.00 | 493.20 | 1.01 |
| 14 | 492.0 | 2.00 | 493.10 | 1.98 |
| 15 | 492.0 | 3.00 | 491.80 | 3.01 |
| 16 | 590.4 | 1.00 | 592.00 | 1.01 |
| 17 | 590.4 | 2.00 | 592.00 | 1.99 |
| 18 | 590.4 | 3.00 | 590.50 | 3.00 |
| 19 | 688.8 | 1.00 | 694.20 | 1.00 |
| 20 | 688.8 | 2.00 | 689.10 | 2.01 |
| 21 | 688.8 | 3.00 | 690.00 | 3.01 |

جدول ۳: ماکریم، میانگین و مینیموم خطای تخمین به دست آمده از روش‌های PSO و GA

| | GA | | PSO | |
|------|-------|-------|-------|-------|
| | loc | dep | loc | dep |
| Max. | 3.12% | 4.53% | 1.49% | 1.00% |
| Ave. | 0.95% | 1.94% | 0.46% | 0.54% |
| Min. | 0.04% | 0.79% | 0.02% | 0.00% |

در بخش دوم آزمایشات، چهار فرکانس اول را که در شش حالت عیوب اندازه‌گیری شده‌اند، را به الگوریتم عیوب‌یابی اعمال می‌کنیم. نتایج تخمین در جدول ۴ مندرج است. جدول ۵ مشخصات آماری مربوط به نتایج روش‌های PSO و GA را نشان می‌دهد. با توجه به جدول ۵ افزایش خطای تخمین نسبت به نتایج تخمین نقاط تست بخش قبل (جدول ۳) مربوط به نامعینی‌های تجربی، خطای اندازه‌گیری فرکانس‌های طبیعی و خطای مدل‌سازی می‌باشد. همچنین از جدول ۴ ملاحظه می‌شود که بیشترین خطای مربوط به حالتی است که عمق ترک کم است، و میزان خطا

قدرتانی می نمایند.

مراجع

- [1] S.I. Ishak, G.R. Liu, S.P. Lim, Study on characterization of horizontal cracks in isotropic beams, *J. Sound Vib.*, 238 (4), 661-671, 2000.
- [2] S.W. Liu, J.H. Haung, J.C. Sung, C.C. Lee, Detection of cracks using neural networks and computational mechanics, *Comput. Methods Appl. Mech. Engrg.* 191 (25-26), 2831-2846, 2002.
- [3] J.K. Sinha, M.I. Friswell, S. Edwards, Simplified model for the location of cracks in beam structures using measured vibration data, *J. Sound Vib.* 251 (1), 13-38, 2002.
- [4] D.J. Haas, C.G. Schaefer Jr., Emerging technologies for rotor system health monitoring, in: American Helicopter Society 52nd Annual Forum Washington DC, vol. 2, pp. 1717-1731, 1996.
- [5] C. Boller, Next generation structural health monitoring and its integration into aircraft design, *Int. J. Syst. Sci.* 31 (11), 1333-1349, 2000.
- [6] Y. Zou, L. Tang, G.P. Steven, Vibration based model dependent damage (delamination) identification and health monitoring for composite structure—a review, *J. Sound Vib.* 230 (2), 357-378, 2000.
- [7] S.W. Doebling, C.R. Farrar, M.B. Prime, A summary review of vibration based damage identification methods, *Shock Vib. Dig.* 30, 91-105, 1998.
- [8] O.S. Salawu, Detection of structural damage through changes in frequency: a review, *Engrg. Struct.* 19 (9), 718-723, 1997.
- [9] Peimani M, Vakil Baghmisheh MT, Ettefagh MM. Non-destructive crack detection using genetic algorithms. Proceedings of Manufacturing Engineering, TICME 2005. Tehran: Iran, P. 170, 2005.
- [10] Peimani M, Vakil Baghmisheh MT, Sadeghi M, Ettefagh MM. Locating damage in beam like structures with Neural Networks, Proceedings of Intelligent Systems, CIS2005, Tehran: Iran, P. 54, 2005.
- [11] Kennedy J, Eberhart R.C., Particle Swarm Optimization, Proc. Of IEEE international conference on Neural Networks (ICNN), Vol 4, 99. 1942-1948, Perth, Australia, 1995.
- [12] Rizos P.F., Aspragathos N., Dimarogonas A.D., Identification of crack location and magnitude in a cantilever beam from the vibration modes. *Journal of Sound and Vibration*, Vol. 138, No. 3, pp. 381-388, 1990.
- [13] Shifrin E.I., "Natural frequencies of a beam with an arbitrary number of cracks", *Journal of sound and Vibration* 222(3), 409-423, 1999.